

Stochastic Volatility Modeling - Heston model

Steven François

M2PF

2023

- ➊ Présentation du modèle
- ➋ Variance forward
- ➌ Drift sur la variance
- ➍ Term structure de la vol de vol
- ➎ Smile de la vol de vol
- ➏ ATMF Skew
- ➐ Conclusion

- Historiquement le modèle d'Heston a été créé pour mieux appréhender la volatilité sur les marchés (Calibration du smile/Skew)
- On veut s'intéresser aux modèles à variance forward
- Le modèle d'Heston n'en est pas un mais sert à les appréhender
- Parallèle avec le cours sur le VIX (volatilité implicite et variance forward)

- Le modèle d'Heston est défini par le système d'équations suivantes:

Définition

$$\begin{cases} dS_t = \sqrt{V_t} S_t dW_t \\ dV_t = -k (V_t - V^0) dt + \sigma \sqrt{V_t} dZ_t \end{cases} \quad (1)$$

- V_t : Variance instantanée t^{-1} ($\Longleftrightarrow \sigma^2$ B.S)
- k : Coeff d'elasticité t^{-1}
- V^0 : Mean reversion value
- σ : "Volatilité de la Volatilité" t^{-1}
- W_t, Z_t Browniens corrélés t.q $\langle W_t, Z_t \rangle = \rho t$

Méthode de Transformée de Fourier inverse sur les moments de $\log(S_t)$ pour le prix du Call:

Théorème : Prix du Call dans le Modèle de Heston

$$C(t, S_t, v_t, K, T) = S_t P_1 - K e^{-r\tau} P_2$$

$$P_j(x_t, v_t; x_T, \ln K) = \frac{1}{2} + \frac{1}{\pi} \int_0^\infty \operatorname{Re} \left(\frac{e^{-i\psi\omega\Lambda} f_j(\phi; t, x, v)}{i\phi} \right) d\phi$$

$$f_j(\phi; v_t, x_t) = \exp[C_j(\tau, \phi) + D_j(\tau, \phi)v_t + i\phi x_t]$$

Variance forward

- Variance forward : $\xi_t^T = E_t[V_T]$
- $dV_t = -k(V_t - V^0)dt + \sigma\sqrt{V_t}dZ_t$ et $\bar{V}_u = E_t[V_u]$ donnent
$$d\bar{V}_T = -k(\bar{V}_T - V^0)dT$$
- EDO avec $\bar{V}_t = \xi_t^t = V_t$ et $\bar{V}_T = \xi_t^T$ donnent
$$\xi_t^T = V^0 + e^{-k(T-t)}(\xi_t^t - V^0)$$
- Variance implicite : $\hat{\sigma}_T^2(t) = \frac{1}{T-t} \int_t^T \xi_t^\tau d\tau$
$$\hat{\sigma}_T^2(t) = V_t^0 + \frac{1-e^{-k(T-t)}}{k(T-t)}(V_t - V^0)$$
- Le VIX définissait d'abord la variance implicite à partir du prix du log-contrat (légèrement modifié) puis la variance forward par dérivation mais aussi...

- $\xi_t^T = V^0 + e^{-k(T-t)} (\xi_t^t - V^0)$ donne
$$\begin{cases} d\xi_t^T = \sigma e^{-k(T-t)} \sqrt{\xi_t^t} dZ_t \\ dS_t = \sqrt{\xi_t^t} S_t dW_t \end{cases}$$
- On récupère aussi le ξ dans le S_t et on obtient un modèle "variance forward". Toutes les variances forward ξ_t^T (pour T) sont fonctions de la variance forward du présent ξ_t^t ce qui nous propose un modèle markovien.
- Le modèle paramétrique de Bergomi pour le VIX donnait
$$\begin{cases} d\xi_t^T = \omega \xi_t^T \kappa(T-t) dZ_t \\ \kappa(\tau) = e^{\frac{-\tau}{d}} \end{cases}$$

- Historiquement on calibrerait les modèles à variance instantanée en utilisant une prime de risque:
 - $dV_t = \mu(t, S, V, p) + \lambda(t, S, V)dt + \alpha dZ_t \implies$
 $dV_t = \mu(t, S, V, p^*) dt + \alpha dZ_t$
 - avec p = paramètre du modèle considéré
- Bergomi réfute l'idée de l'existence d'une prime de risque ,
c'est un concept artificiel et dénué de sens
mathématiquement

- En effet, son interprétation du drift dans les modèles a vol forward est simple :
- en diffusant la variance forward $d\xi_t^T = \lambda_t^T dZ_t^T$ et en différentiant la variance instantanée on obtient avec la règle de la chaîne (ou formule d'ito):
- $dV_t = \left. \frac{d\xi_t^T}{dT} \right|_{T=t} dt + \lambda_t^T dZ_t^T$
- * Pente au temps t des extrémités de V

Propriété : Cohérence avec le modèle de Heston

$$d\xi_t^T = -ke^{-k(T-t)}(\xi_t^T - V^0)dT$$

- Remarque : Comme convenu , en utilisant le fait que $V_t = \xi_t^t$ on retrouve le drift de variance dans le modèle de Heston

- On s'intéresse à la volatilité de la volatilité, on dérive donc :

- $\hat{\sigma}_T^2(t) = \frac{1}{T-t} \int_t^T \xi_t^\tau d\tau = V_t^0 + \frac{1-e^{-k(T-t)}}{k(T-t)} (V_t - V^0)$ donne

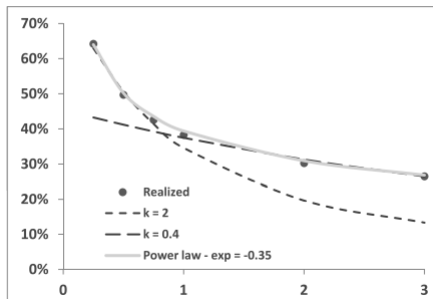
$$d\hat{\sigma}_T = \bullet dt + \frac{\sigma}{2} \frac{1-e^{-k(T-t)}}{k(T-t)} \frac{\hat{\sigma}_t}{\hat{\sigma}_T} dZ_t \text{ (modèle lognormal)}$$

- $\text{vol}(\hat{\sigma}_T) \propto \frac{1-e^{-k(T-t)}}{k(T-t)}$

- $$\begin{cases} T-t \ll \frac{1}{k} & d\hat{\sigma}_T \simeq \bullet dt + \frac{\sigma}{2} \left(1 - \frac{k(T-t)}{2} \right) \frac{\hat{\sigma}_t}{\hat{\sigma}_T} dZ_t \\ T-t \gg \frac{1}{k} & d\hat{\sigma}_T \simeq \bullet dt + \frac{\sigma}{2} \frac{1}{k(T-t)} \frac{\hat{\sigma}_t}{\hat{\sigma}_T} dZ_t \end{cases}$$

Term structure des volatilités de volatilités

An example of one-factor dynamics: the Heston model



- Le modèle d'Heston propose des volatilités de volatilités qui n'épousent pas l'interpolation des volatilités réelles sur toutes les maturités
- Le réglage du paramètre k permet de fit sur du court terme ou du long terme

Etude du Smile de Vol de Vol

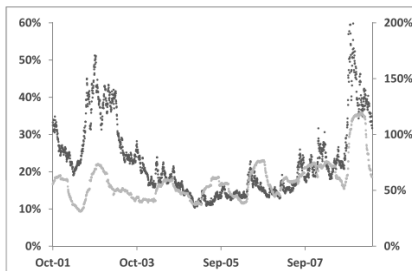
- Dans un modèle a vol locale (Markovien) : $\sigma = \sigma(t, S_t)$
- Par conséquent pour une option O_t , sur de courtes maturités ,
 $\hat{\sigma}_{ATMF} \approx \sigma(t, S_t)$

Propriété : Dynamique de la volatilité dans le modèle de Heston

$$d\sqrt{V} = \bullet dt + \frac{\sigma}{2} dZ_t$$

- Concernant la Vol implicite:

Vol implicite (sombre : gauche) et sa Volatilité lognormale (clair : droite) Euro-Stoxx :



Réalité selon bergomi:

- Pour de courtes maturités
 - $\hat{\sigma}_{atm} = +\hat{\sigma}_{atm}^{\gamma} dZ_t$
 - $\gamma > 1$ vs *Heston* = 0
 - Pour de courtes maturités
- Quid des maturités + longues ?
- $\rightarrow d\hat{\sigma}_T \simeq \bullet dt + \frac{\sigma}{2} \frac{1}{k(\overline{T}-t)} \frac{\hat{\sigma}_t}{\hat{\sigma}_T} dZ_t$
- En utilisant la formule fermée sur la Variance implicite nous avons comme borne basse :
- $\hat{\sigma}_T(t) > \sqrt{V^0} \sqrt{1 - \frac{1-e^{-k(T-t)}}{k(T-t)}} = \hat{\sigma}_T^{min}(t)$

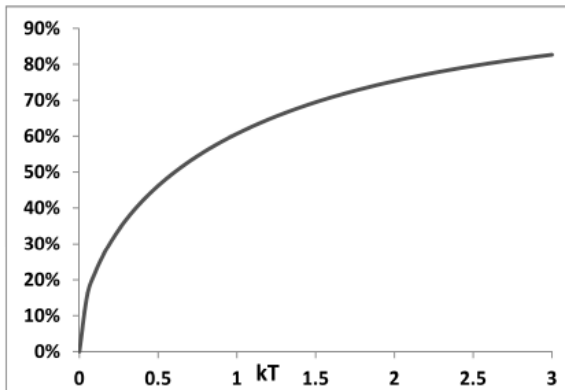


Figure 6.3: $\frac{\hat{\sigma}_T^{\min}(t)}{\sqrt{V^0}}$ as a function of $k(T - t)$.

- $\hat{\sigma}_{KT} = \hat{\sigma}_T(0, V) + \delta\hat{\sigma}_{KT}$
- $\hat{\sigma}_T = \hat{\sigma}_T(0, V) = \sqrt{V^0 + (VV^0) \frac{1-e^{-kT}}{kT}}$
- $\delta\hat{\sigma}_{KT} = \left(\frac{dP_{BS}}{d\hat{\sigma}}\right)^{-1} \delta P$
- $\delta\hat{\sigma}_{KT} = \frac{1}{\hat{\sigma}_T^3 T^2} \left[\frac{\rho\sigma}{2} \int_0^T V_\tau^\alpha(V) \frac{1-e^{-k(T-\tau)}}{k} d\tau \right] \left(\frac{\hat{\sigma}_T^2 T}{2} + \ln \frac{K}{F_T} \right)$
- $$\begin{cases} \hat{\sigma}_{F_T T} = \hat{\sigma}_T \left(1 + \frac{\hat{\sigma}_T T}{2} \mathcal{S}_T \right) \\ \mathcal{S}_T = \frac{d\hat{\sigma}_{KT}}{d \ln K} \Big|_{F_T} = \frac{1}{\hat{\sigma}_T^3 T^2} \frac{\rho\sigma}{2} \int_0^T V_\tau \frac{1-e^{-k(T-\tau)}}{k} d\tau \end{cases}$$

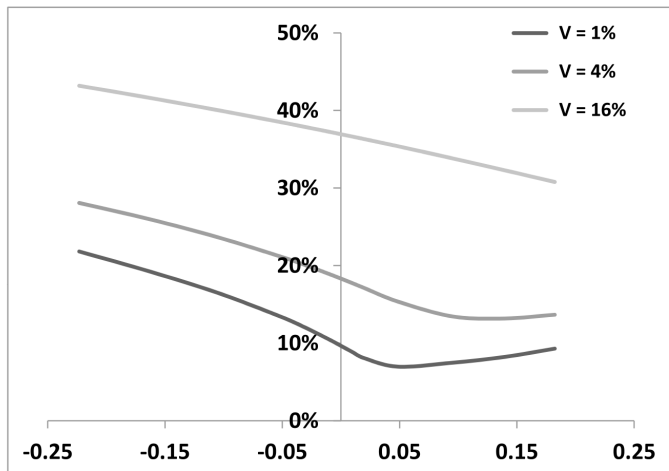
- $kT \ll 1$

$$\begin{cases} \hat{\sigma}_{F_T T} = \sqrt{V} \left(1 + \frac{\rho\sigma T}{8} \right) \\ S_T = \frac{\rho\sigma}{4\sqrt{V}} = \frac{\rho\sigma}{4\hat{\sigma}_{F_T T}} \end{cases}$$

- $kT \gg 1$

$$\begin{cases} \hat{\sigma}_{F_T T} = \sqrt{V^0} \left(1 + \frac{\rho\sigma}{4k} \right) + \frac{1}{2kT} \left(\frac{V - V^0}{\sqrt{V^0}} + \frac{\rho\sigma}{4k} \frac{V - 3V^0}{\sqrt{V^0}} \right) \\ S_T = \frac{\rho\sigma}{2\sqrt{V^0}} \frac{1}{kT} \end{cases}$$

Skew ATMF - Exemple



Courbe des $\hat{\sigma}_{KT}$ selon la logmoneyness-forward pour maturité 3 mois et paramètres $V^0 = 0.04$, $k = 1$, $\sigma = 0.6$, $\rho = -80\%$

Skew ATMF - Exemple

V	1%	4%	16%
S_T^{real}	-8.1	-6.0	-3.1
S_T^{approx}	-8.8	-5.5	-3.0

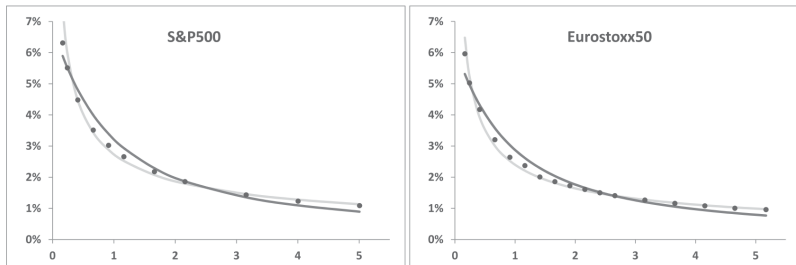
Valeur du skew ATMF pour les mêmes paramètres

V	1%	4%	16%
$\hat{\sigma}_T$	11.6	20	38.2
$(\hat{\sigma}_{F_T T} - \hat{\sigma}_T)_{\text{real}}$	-1.9	-1.7	-1.2
$(\hat{\sigma}_{F_T T} - \hat{\sigma}_T)_{\text{approx}}$	-0.1	-0.3	-0.5

Comparaisons des volatilités pour les mêmes paramètres

Skew ATMF - Term structure

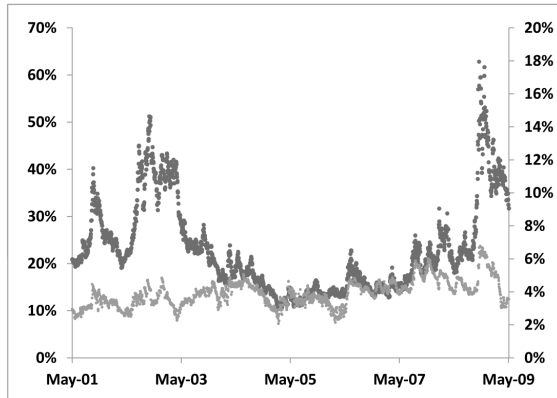
- Les courtes maturités proposent un skew constant alors que les maturités longues proposent un skew décroissant en $\frac{1}{T}$. Cela vient du caractère de retour à la moyenne du processus V et de résultats du chapitre précédent.



- De nouveau, le modèle d'Heston n'arrive pas à fit tout le long des maturités.

Skew ATMF - Volatilité et skew

- En maturité courte, nous avons obtenu un skew inversement proportionnel à la volatilité implicite.
- Cependant, les données réalisées semblent plutôt proposer une maigre corrélation qui est positive et non négative.



Le modèle d'Heston est un modèle à volatilité stochastique simple pour comprendre le smile de volatilité

Cependant

- étant un modèle à 1 facteur il est très peu flexible
- il ne reproduit malheureusement pas les dynamiques réelles des données historiques sur le marché (smile/skew)
- Il est aussi peu utilisé en pratique car sa dynamique est souvent hors sujet pour des problèmes de pricing et hedging.